

# فرآیند پلیمرها در یک بازنگری جامع

## نقل و انتقال جامدات ذره‌ای<sup>\*</sup>

بیشتر مواد اولیه و محصولات واسطه‌ای در فرآیند پلیمرها به صورت جامدات ذره‌ای اند که مستلزم انبار کردن، حمل و نقل، تغذیه به ماشین‌آلات از طریق سبلوها و قیفهای تقدیمی و فشرده‌سازی هستند. این ذرات، تحت عملیات متنوع نوبتی و بیوسته دیگری که در صنایع پلیمری متداور اند، فوار می‌گیرند. ذرات جامد را عموماً در دو گروه دانه‌ها (که معمولاً قطری بیشتر از یک میلی‌متر دارند) و بودرها (که معمولاً قطری کمتر از یک‌صد میکرومتر دارند) طبقه‌بندی می‌کنند.

قبل از سالهای ۱۸۸۰، طراحان تسمیلات انبارسازی انسوه و سیستمهای حمل و نقل جامدات ذره‌ای، فرض می‌کردند که آنها رفتاری شبیه سیالات دارند و فشار آنها را نیز بر اساس وزن مخصوص ظاهري

کلید واره: فرآیند پلیمرها، انتقال اندازه حرکت و حرارت در فرآیند پلیمرها، ماتیز نلات فرآیند پلیمرها

چکیده: در شماره قبل شرحی راجع به خصلتهای ممتاز مواد پلیمری که عملیات فرآیند منحصر به فرد آنها امکن می‌سازد، داده شد. همچنین وجود تمايز بین فرآیندهای مهندسی سیمعی و فرآیندهای پلیمری ذکر گردید و این ساختار مولکولی پلی‌مر بر فرآیند انتخاب دعای فرآیندی مناسب و نحوه ابداع یک راه حل مهندسی در خواه خصوصیات پلی‌مرها، مورد بررسی فرار گرفت.

در این شماره در مورد جایه‌جاسازی جامدات ذره‌ای، رفتار سیل جامد، اثر اعمال تنفس و گُرنش بر بستر، انبارسازی جامدات ذره‌ای، مکانیزم ترم شدن و ذوب پلی‌مرها در اکسترودرها، فشردن پلی‌مر مذاب و پمپ کردن آن، مطالعی ازانه می‌شود.

۶۶

### Key Words:

1 - Polymer Processing, 2 - Momentum and Heat Transfer in Polymer Processing, 3 - Equipments of Polymer Processing

سیال<sup>۱</sup> تعیین می‌کردند [۲۰]. با این وجود، به زودی دریافتند که خواص سیستمهای جامدات ذره‌ای کاملاً بسیجیده است و بین خواص سیالات و جامدات واقع می‌شوند. وقتی بستری از ذرات جامد تغییر شکل می‌ساید، هیچ رابطه ساده‌ای بین میدان تغییر شکل و توزیع نشنهای اعمال شده بر بستر ذرات جامد، وجود ندارد.

### انتقال اندازه حرکت

- توزیع تنش در جامدات ذره‌ای از عوامل زیر ناشی می‌شود [۲۱]:
- انتقال اندازه حرکت همراه با جابه‌جایی ذرات بین لایه‌هایی از جامدات ذره‌ای با حرکت نسبی
- انتقال اندازه حرکت به وسیله برخورد های بین ذرات از لایه‌هایی با حرکت نسبی

- نیروهای بین ذره‌ای در نقاطی که تماس مستمر وجود دارد انتقال اندازه حرکت ناشی از برخورد بین ذرات، شیوه انتقال اندازه حرکت مولکولی در مایعات است. نیروهای بین ذرات در نقاط تماس، از هم شاخص‌ترند و به جامدات ذره‌ای ماهیت بی‌نظیری می‌بخشنند. رفتار ذرات جامد شدیداً تحت تأثیر خواص اصطکاکی آنها و نیز وزن مخصوص اینوهر آنهاست که به نوعه خود شدیداً تابع میدان تنش اعمال شده است. جامدات ذره‌ای همان‌گونه که قابلیت تشکیل شل را دارند، می‌توانند تنش برخی را تحمل کنند.

*Polymer Processing, An Overview  
Chemical Engineering Progress June 1981*

*C.G. Gogos, Z. Tadmor*

**توجه: دکتر فتح‌الله فرهادی**

با این وجود چنانچه تنش

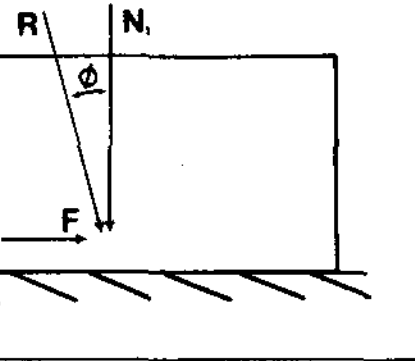
برخی از مقدار تسلیم تجاوز کند، لغزشی در

نقاط تماس ذره با ذره رخ می‌دهد. این موضوع در شکل ۱۱ که قطعه‌ای از ماده جامد بر روی سطحی از همان جنس قرار گرفته، نشان داده شده است. تنش برخی،  $R/A = F/A$ ، انقدر افزایش می‌باید تا قطعه شروع به لغزش کند. طی عمل برخی، اگر تنش قائم،  $N_1/A = N_2/A$ ، افزایش یابد، مقدار تنش برخی بیشتری موردنیاز است تا لغزش به وقوع بیوندد.

نیروی حاصل،  $R$ ، با خط قائم بر سطح، زاویه  $\theta$  می‌سازد که آنرا به عنوان زاویه اصطکاک می‌شناسند. رابطه‌ای خطی بین تنش برخی،  $f_{12}$ ، و تنش نرمال،  $R$ ، وجود دارد:

$$f_{12} = \tau_{11} \tan \theta = \tau_{11} f \quad (17)$$

سال اول - شماره دوم



شکل ۱۱ - نیروهای وارد بر قطعه‌ای در حال لغزش

در این رابطه،  $f$  ضریب اصطکاک لغزشی معرف مقاومت برخی بلی مر در مقابل تسلیم شده است. ضریب اصطکاک خاصیتی مادی است و به زبری ذره‌یعنی سطح جامد، وجود آلدگیهای روی سطح، شیمی سطح و دماستگی دارد. مقادیر نوعی ضرائب اصطکاک لغزشی برخی از رزینهای بلی مری<sup>۲</sup> در جدول ۲ آمده است.

اگرچه ضریب اصطکاک خاصیتی مادی است، ولی مقاومت برخی همان ماده به صورت انبو (به شکل اجتماعی از جامدات ذره‌ای) نایع عوامل دیگری است. از جمله، درجه درهم رفتگی<sup>۳</sup> ذرات منفرد در یکدیگر که ضریب اصطکاک داخلی بستری از ذرات جامد را تعیین می‌کند، اهمیت ویژه‌ای دارد. این امر، اهمیت وزن مخصوص انبو<sup>۴</sup> یک جامد ذره‌ای را روش می‌سازد؛ تغییر آن به دلیل اعمال بار و تغییر شکل آن در شکل گیری نیروهای اصطکاکی بین ذرات بحرانی است.

جدول ۲ - ضرائب اصطکاک لغزشی در رزینهای بلی مری

نوع بلی مر	ضریب اصطکاک بین بلی مر و فولاد*	ضریب اصطکاک بین بلی مر - بلی مر
نایلون	۰.۲۵	۰.۲۵
تفلون	۰.۱۴	۰.۱۴
بلی اتیلن	۰.۱۵ - ۰.۰۵	۰.۱۵ - ۰.۰۵
بلی استیرن	۰.۱۶ - ۰.۰۵	۰.۱۶ - ۰.۰۵
بی‌وی‌سی	۰.۱۶	۰.۱۶
بلی متیل‌متاکریلات	۰.۱۸ - ۰.۱۴	۰.۱۸ - ۰.۱۴
ساران	۰.۲۲ - ۰.۲۴	۰.۲۲ - ۰.۲۴

\* فولاد مبلغ یافته - از مأخذ [۲۸] دوباره نقل شده است.

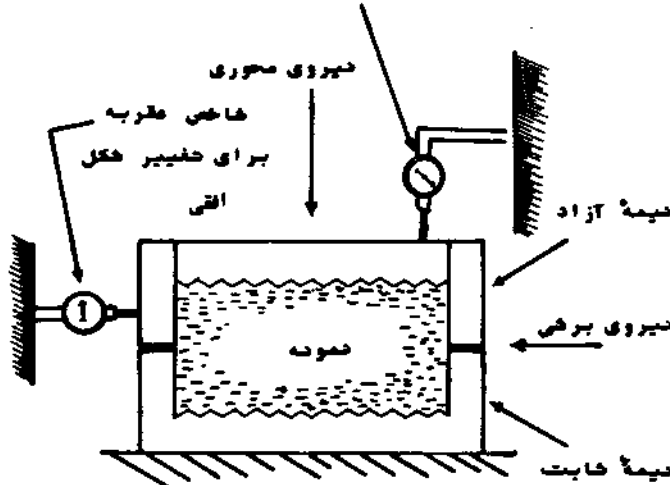
وزن مخصوص انبو و ضریب اصطکاک داخلی جامدات ذره‌ای به نوعه خود متأثر از عوامل زیراند [۲۱]:

ترکیب - خصوصیات تغییر شکل هریک از ذرات اساساً نایع ترکیب آنها است.

نوع گُرنش، حجمی<sup>۱۱</sup> (یعنی نسبت تغییر حجم به حجم اولیه -م) است. بدین معنی که گُرنش معکوری به دلیل محدودیتهای جانی، کوچک باقی م ماند.

طراحی یک دستگاه برش مستقیم نیز امکان‌پذیر است که به وسیله آن بستر ذرات در یک بعد تحت فشار قرار می‌گیرد و در عین حال در امتداد سطح افق بر آن برش اعمال می‌شود. در روش جعبه برش انتقالی<sup>۱۳</sup>، شکل ۱۲، نمونه در یک جعبه محبوس می‌شود که در امتداد افق دونیم شده است [۲۲]. در حالیکه تنش محوری نمونه را تحت فشار قرار می‌دهد، برش افقی بر روی نیمه‌آزاد جعبه اعمال می‌شود. نیم آزاد، در لحظه وادادن بستر ذرات جامد، بر روی نیمه ثابت می‌لغزد.

فایل معرفه برای خیر هکل فام



شکل ۱۳ - جعبه برش انتقالی (۲۸)

**شکل ۱۴. رابطه نوعی تنش - کُرنش جامدات ذره‌ای با وزن**  
**مخصوص انبوه کم و زیاد، در برش مستقیم را نشان می‌دهد.** مقدار تنش  
 برشی تا یک حد اکثر افزایش می‌یابد که باز آن بستر ذرات و اما می‌دهد.  
 این نقطه معرف مقاومت بستر در مقابل برش یا نقطه وادان برشی بستر  
 است. همچنین شکل ۱۴ نشان می‌دهد که نمونهای از جامدات ذره‌ای که  
 در ابدا وزن مخصوص‌های انبوه متفاوتی داشته‌اند، رفتار برشی متفاوتی  
 نیز از خود نشان می‌دهند.

نقش وزن مخصوص انبوه اولیه را می‌توان با ملاحظه تغییر حجم در اثر تغییر شکل، در ک نمود (شکل ۱۵). به نظر می‌رسد که مواد دارای وزن مخصوص انبوه زیاد، رفتاری غیر عادی از خود نشان می‌دهند. زیرا در اثر فشار ابتدا حجم آنها افزایش می‌یابد. بخش عده تغییر شکل در اثر اعمال برش مستقیم، نتیجه لفڑش، غلطین و یا بازآرایی ذرات جامد نسبت به یکدیگر است. وقتی در هر فنگی ذرات تنگاتنگ باشند، مثل رزینهای با وزن مخصوص انبوه زیاد، برای برش انبوه جامد، لازم می‌شود که ذرات بر روی یکدیگر بغلطند که در نتیجه انسباط حاصل می‌شود. از سوی دیگر،

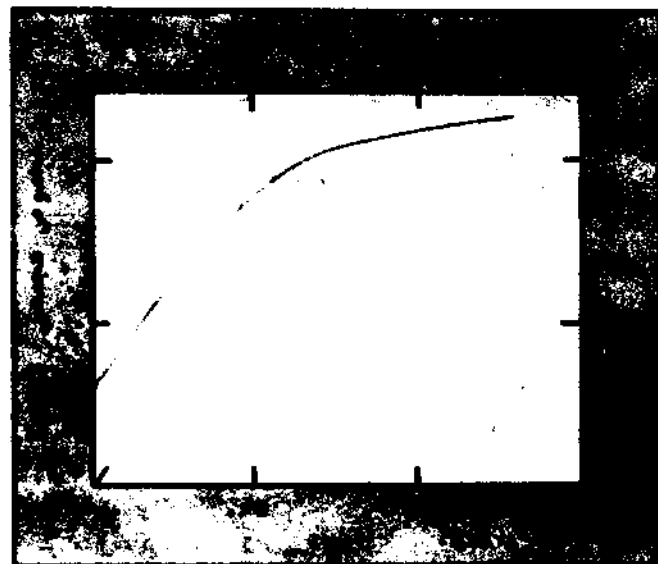
توزیع اندازه ذرات - در یک سیستم جامدات ذره‌ای با توزیع گستردۀ اندازه ذرات، ذرات ریزتر فضای بین ذرات درشت‌تر را بهر می‌کنند. در نتیجه وزن مخصوص انبوۀ سیستم زیادتر می‌شود. توزیع گستردۀ اندازه ذرات، منجر به نقاط تماس زیادتر بین ذرات می‌شود که خود در هم رفتگی بینتر ذرات را موجب و منجر به ضرب اصطکاک داخلی بسیزگری می‌شود.

شکل ذرات - ذرات بلی مری مستشکل از دانه‌های گردن، ضرب  
اصطکاک داخلی کوچکتری نسبت به ذرات مستشکل از دانه‌های گوشهدار  
دارند. هرچه نسبت ذرات گوشهدار بیشتر باشد، درهم رفتنگی نیز بیشتر  
است.

رابطہ تنش - گُرنس

یکی از روش‌های تجزیی تعیین ارتباط تنش با گُرنش انبوچ جامدات نزهه‌ای آزمایش محکم‌سازی<sup>۱</sup> یک بعدی است. در این آزمایش، در حالیکه روی نمونه‌ای استوانه‌ای شکل در امتداد محور فشار وارد می‌آید و از گُرنشهای جانبی آن جلوگیری می‌شود. نسبت تنش جانبی به تنش محوری در چنین آزمایشی برابر واحد نیست.

نتایج نوعی یک آزمایش محکم‌سازی یک بعدی در مورد بسودر قالب‌گیری قتل فرمالدئید در شکل ۱۲ نشان داده شده است.



شکل ۱۲ - وزن مخصوص ابیوه بر حسب فشار در صوره بودر قالب گیری فعل فرمالدئید در  
دمای  $25^{\circ}\text{C}$  تحت آزمایش محکم سازی پک بندی

وقتی وزن مخصوص انبوه افزایش یابد، فشار به صورت نسایی افزایش پیدا می‌کند. تغیر شکل عمدتاً پلاستیکی است. کاهش تنش محوری فقط سبب بازگشت تغیر شکل کشسان<sup>۱۱</sup> که نسبتاً گوچک است، می‌شود. نمونه در چنین آرایشی، هرگز به مرز برداش نمی‌رسد. گرتش نیز از

این خصوصیات بر جسته ذرات جامد را برای به دست آوردن معادلات طراحی، ذخیره‌سازی و انتقال جامدات ذره‌ای در فرآیند پلیمرها، می‌توان با چند تحلیل ساده، سوره استفاده قرار داد. توزیع فشار در سیلوها و قیف‌های تغذیه، فشرده‌سازی، جریان از طریق جابه‌جا سازی مکانیکی<sup>۱۰</sup> و جریان جامدات ذره‌ای تحت القاء کشش<sup>۱۱</sup>، مثالهایی از این معادلات اند.

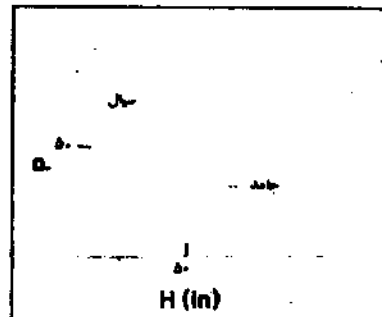
[۱۱] رابطه توزیع فشار در یک سیلوی قائم استوانه‌ای به قطر  $D$  و ارتفاع  $H$  نوسط یانسن<sup>۱۲، ۱۳</sup> به دست آمده است. وی فرض می‌کند که تنشهای قائم روی هر صفحه ثابت اند و به علاوه نسبت تنشهای افقی و قائم،  $K$ ، وزن مخصوص انبوه،  $\rho_s$ ، نیز ثابت اند. از موازن نیروها، فشار  $P$  حاصل می‌شود که تابعی از ارتفاع نقطه مورد نظر از کف سیلو،  $h$ ، و ضریب اصطکاک،  $\mu$ ، است:

وقتی ارتفاع سیلو،  $H$ ، به سمت بی نهایت میل می‌کند، فشار حد اکثر در کف سیلو به یک مقدار ثابت تقریبی می‌شود.

$$P = \frac{\rho_s D}{4K} \left\{ 1 - \exp \left[ \frac{4fK(h-H)}{D} \right] \right\} \quad (18)$$

$$P_{max} = \frac{\rho_s D}{4K} \quad (19)$$

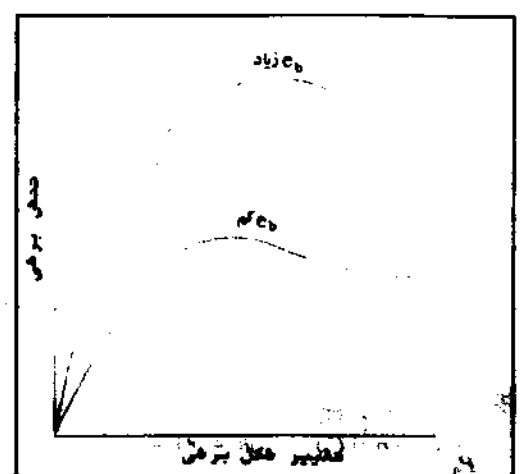
این بدان معنی است که فشار در بیش از یک ارتفاع معین بحرانی، به سمت مقدار ثابتی میل می‌کند. این امر در مورد یک قیف تغذیه استوانه‌ای که از مکعب‌های بلی استبرن بر شده، در شکل ۱۶ نشان داده شده است. نیروهای اصطکاکی بین ذرات و بین دیواره‌ها و ذرات، پروفیل سرعتی را ایجاد می‌کند که بالاتر از یک ارتفاع بحرانی به یک مقدار ثابت میل خواهد کرد. بدینه است که رابطه فشار – ارتفاع برای سیالات خطی است.



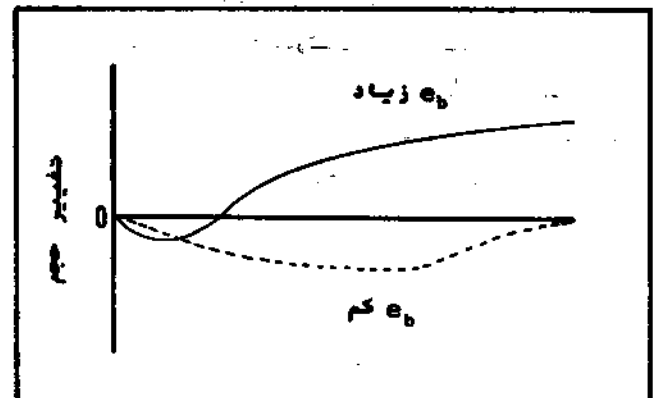
شکل ۱۶ - فشار در کف سیلو به صورت تابعی از ارتفاع در سیلوی استوانه‌ای

جریان از طریق جابه‌جا سازی مکانیکی و فشرده سازی<sup>۱۴</sup>، تغییر تنشهای محوری بر حسب فاصله را می‌توان با همان مفروضات سوره استفاده در تحلیل یانسن، تعیین کرد. آرایش هندسی مربوطه در شکل ۱۷

در مورد مواد دارای وزن مخصوص انبوه کم، ذرات ریزتر به هنگام تغییر شکل بستر، به داخل فضاهای خالی حرکت می‌کنند. بنابراین فشرده شدن بستر همراه با کاهش حجم خواهد بود.



شکل ۱۷ - تغییر شکل برشی جامدات ذره‌ای



تغییر حجم در اثر تغییر شکل جامدات ذره‌ای

مقاومت برشی جامدات ذره‌ای تابع فشرده‌گشی یا درجه درهم رفتگی ذرات منفرد است. این امر ایجاب می‌کند که جامدات دانه‌ای حين تغییر شکل تقویت یا تضعیف شوند [۲۱]. تغییر شکل ماده‌ای با وزن انبوه کم، تحت بار نسبتاً زیاد منجر به فشرده شدن و تقویت مجموعه ذرات جامد می‌شود. از طرف دیگر تغییر شکل ماده‌ای با جگالی انبوه زیاد، تحت بار نسبتاً کم، با انسپاکت و تضعیف همراه است.

علاوه بر مقاومت برشی داخلی بستری از جامدات ذره‌ای، اثرات متقابل بستر و جداره‌های ظرف در برگیرنده بستر نیز حائز اهمیت‌اند. زیری سطح ظرف و همچنین خواص جامد ذره‌ای کنترل کننده این اثرات متقابل هستند.

معادلات طراحی، ذخیره‌سازی و انتقال

مارپیچ ساده پلاستیک کنند.<sup>۱۸</sup> اکسترودرهای مجهز به مارپیچ دو قلو همسو گرد در گیر و غیر در گیر<sup>۱۹</sup>، اسواع مختلف همزن های پیوسته و ماشینهای قالب گیری تزریقی رفت و برگشته<sup>۲۰</sup> می شوند. مکانیزم انتقال از طریق القاء کنش در شکل ۱۸ نشان داده شده است. بستر جامد تحت تأثیر کنش اصطکاکی وارد آمده از سوی صفحه بالایی، درجهت بائین کانال به حرکت درمی آید. امتداد کانال را  $\alpha$  و زاویه حرکت صفحه با این امتداد را  $\theta$  می نامیم. کسانی که با اینجاد حالت پلاستیکی از طریق اکسترود کردن آشنا بی دارند، درخواهند یافت که صفحه بالایی معرف بدنه ثابت اکسترودر،  $\theta$ ، زاویه تیغه مارپیچ و سرعت صفحه بالایی همان سرعت خطی مارپیچ است.

شکل ساده توزیع فشار در جریان تحت القاء کنش به صورت زیر است:

$$\frac{P_o}{P_i} = \exp \left[ \left( C_1 f_i \cos(\theta + \phi) - C_2 f_o \right) \frac{K_i}{A} \right] \quad (22)$$

در این معادله،  $f_i$  و  $f_o$  ضرائب اصطکاک بر روی صفحه متغیر ک بالایی و صفحات ثابت هستند؛  $C_1$  و  $C_2$  عبارتند از پیرامون تر شده صفحه متغیر و صفحات ثابت و  $\phi$  عبارتست از زاویه انتقال جامدات که با افزایش مقدار حجمی جریان جامد، افزایش می باید. این معادله نشان می دهد که جریان تحت القاء کنش جهت تحت فشار قرار دادن، فشرده سازی و جابه جا نمودن جامدات ذره ای در فرآیند بلی مرها، بسیار مناسب است. ضرائب اصطکاک سطوح متغیر و ثابت،  $f_i$  و  $f_o$ ، نقص قابل ملاحظه ای در جریان تحت القاء کنش، دارند. زیاد بودن مقادیر ضربی اصطکاک صفحه متغیر ک،  $f_i$ ، و کم بودن مقادیر ضربی اصطکاک صفحه ثابت،  $f_o$ ، موجب افزایش قابلیت تحت فشار قرار دادن تسامم با کنش می شود. به همین دلیل، در اینجاد حالت پلاستیکی از طریق اکسترود کردن، سطح بدنه اکسترودر زیر و سطح مارپیچ آن صیقلی ساخته می شود.

گرچه بر اساس معادله (۲۲)، در اصل می توان فشارهای بسیار بالا را تولید کرد ولی در انتقال جامدات از طریق القاء - کنش به ندرت به فشارهای بالا دست می باند؛ زیرا کنش اصطکاکی نیز موجب اتلاف انرژی به صورت حرارت می شود که در آن اتلاف انرژی، مناسب با فشار داخل کانال است [۲۵]. شار حرارتی،  $\psi$ ، در فصل مشترک بستر جامد و صفحه، قیلمی از بلی مر مذاب اینجاد می کند. همزمان با تشکیل این فیلم، مکانیزم کنش اصطکاکی جامد - جامد، تبدیل به مکانیزم کنش ویسکوز می شود که تحت سلطه تنش های برشی پدید آمده در فیلم مذاب است.

### ذوب، نرم و جامد شدن بلی مرها

در برخی از عملیات فرآیندی، بلی مرها احتیاج به ذوب یا نرم شدن دارند تا حالتی بیندا کنند که بتوان آنها را بمب کرد یا تحت فشار قرار داد. عمل تحت فشار قرار دادن<sup>۲۱</sup> جهت شکل دادن بلی مر مذاب به هنگام خروج از قالب اکسترودر، یا برای بر کردن حفره های قالب ضروری

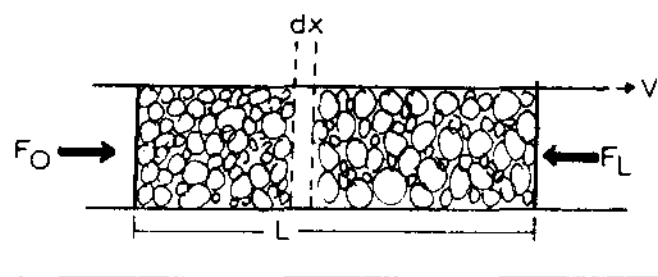
نشان داده شده است [۱]. از موازنه نبردهای واردہ بر جزء حجمی به طول  $dx$  و پیرامونه تر شده  $C$  و سطح مقطع  $A$  رابطه زیر حاصل می شود [۱]:

$$F_i - (F_i + dF_i) - C \left( \frac{F_i}{A} \right) K f dx = 0 \quad (20)$$

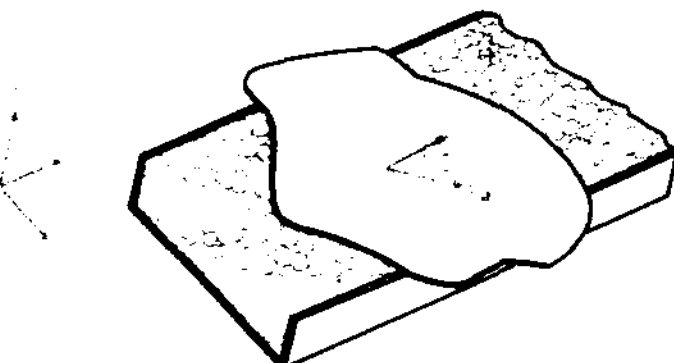
پس از انتگرال گیری، بروغیل فشار طی جابه جاسازی مکانیکی با فشرده سازی از رابطه زیر به دست می آید:

$$P_i = P_o e^{-M(x)} \quad (21)$$

معادله (۲۱) نشان می دهد که در بستره ای از جامدات ذره ای، فشار نسبت به فاصله به صورت نمایی کاهش می باید، در حالیکه در جریان یک سیال، تغییر فشار خطی است. کاهش نمایی فشار، موجب نوع قابل ملاحظه ماشینهای فشرده سازی و انتقال بلی مرها جامد شده است. عموماً، در جابه جا کردن جامدات، از جابه جاسازی مکانیکی احتراز می شود و ترجیحاً از روشهای متکی بر القاء کنش استفاده می شود.



شکل ۱۷ - جریان جامدات ذره ای از طریق جابه جا سازی مکانیکی



شکل ۱۸ - انتقال جامدات ذره ای از طریق القاء کنش

روش کلی انتقال جامدات ذره ای در ماشین آلات فرآیندی، استفاده از مکانیزم القاء کنش است. این ماشین آلات شامل اکسترودرهای مجهز به

رفتار نوعی دما - گنجایش ویژه حرارتی انواع بلی اتینهای تجارتی در شکل ۱۹ نشان داده شده است. انحراف از خط مبدأ، معرف گرمای نهان ذوب،  $H$ ، مطابق تعریف زیر است:

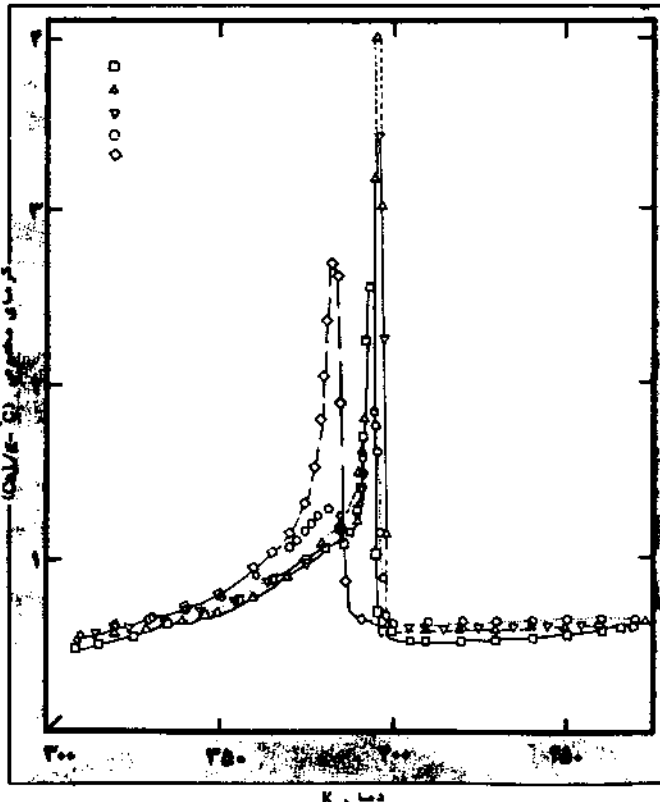
$$\Delta H = \int_{T_m}^{T_m} Cp dT \quad (25)$$

در این رابطه  $T_m$  مربوط به دمای شروع ذوب و  $T_m$  متناظر با دمایی است که آخرین آثار ذوب از بین می روید و به دمای ذوب معروف است. در مورد هموپلیمرها نیز دمای ذوب تابع وزن مولکولی بلی مر است:

$$\frac{1}{T_m} - \frac{1}{T_{m\infty}} = \frac{2RM_n}{\Delta H M_n} \quad (26)$$

$T_{m\infty}$  عبارتست از دمای ذوب بلی مری با "مول زنجیری بی نهایت" و وزن مولکولی مونومر است. دمای ذوب بلی مرها، همچنین تابع فشار هیدرواستاتیک براساس رابطه کلایزیوس - کلایپرون<sup>۱۰</sup> است:

$$(T_m)_{\text{cl}} = (T_m)_{\text{mon}} \exp \left( \frac{(\hat{V}_e - \hat{V}_i)(P - 1)}{\Delta H_i} \right) \quad (27)$$

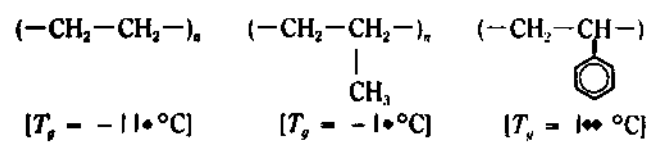


شکل ۱۹ - تغییرات گنجایش ویژه حرارتی بر حسب دمای ذوب رزینهای بلی اتین در وزن مخصوصهای مختلف

است. بلی مرهای ترمoplastیس از شکل بافت نیاز به سرد و جامد شدن دارند.

دماهای فرآیندی حدود  $80^{\circ}\text{C}$  تا  $150^{\circ}\text{C}$  بیش از دمای گذر شیشه‌ای<sup>۱۱</sup> بلی مرهای بی‌شکل و  $10^{\circ}\text{C}$  تا  $100^{\circ}\text{C}$  بیش از دمای ذوب بلی مرهای نیمه بلوری، هستند. (دمای گذر شیشه‌ای، دمایی است که در کمتر از آن هیچگونه حرکت مولکولی در مقیاس بزرگ میسر نیست و بلی مر بی‌شکل، خصوصیات یک شیشه را از خود نشان می‌دهد). در دماهای بالاتر از دمای گذر شیشه‌ای، بلی مرهای بی‌شکل اگر وزن مولکولی بایینی داشته باشند، رفتار مایعات ویسکوز و اگر وزن مولکولی بالایی داشته باشند، رفتار پلاستیکی از خود نشان می‌دهند. دمای گذر شیشه‌ای یک بلی مر، تحت تأثیر ساختار مولکولی و نیز توزیع وزن مولکولی آن است.

تأثیر ساختار مولکولی بر دمای گذر شیشه‌ای، ممکن است برجسته باشد: مثلاً افزودن یک گروه حلقوی صلب، دمای گذر شیشه‌ای،  $T_g$ ، بلی استیرن را در مقایسه با بلی اتین و بلی بروپیلن به طور قابل ملاحظه‌ای افزایش می‌دهد.



افزایش وزن مولکولی موجب افزایش دمای گذر شیشه‌ای بر اساس معادله فاکس و فلوری<sup>۱۲</sup> می‌شود.

$$T_g = T_{g\infty} - K/M_n \quad (28)$$

در این رابطه  $T_{g\infty}$  عبارتست از دمای گذر شیشه‌ای برای وزن مولکولی بی نهایت، و ثابت  $K$ ، ضریبی خاص نوع بلی مر است. در دماهایی بیش از دمای گذر شیشه‌ای، تغییرات مونتی در تحرک مولکولهای بلی مر و در ویسکوزیته آن رخ می‌دهد. تغییرات ویسکوزیته را می‌توان با رابطه تجربی ویلیامز - لندل - فری (WLF) نشان داد:

$$\log \left( \eta/\eta_{T_g} \right) = \frac{-17.14(T - T_g)}{51.6 + (T - T_g)} \quad (29)$$

این معادله تا  $100^{\circ}\text{C}$  بالاتر از دمای گذر شیشه‌ای معتبر است. بنابراین رابطه، در دماهای بالاتر از دمای گذر شیشه‌ای، فرآیند بلی مرها به طور قابل ملاحظه‌ای آسانتر می‌شود و در این محدوده دما، ویسکوزیته بررسی بزرگی حدود  $10^2 \text{ Pa.s}$  را دارد.

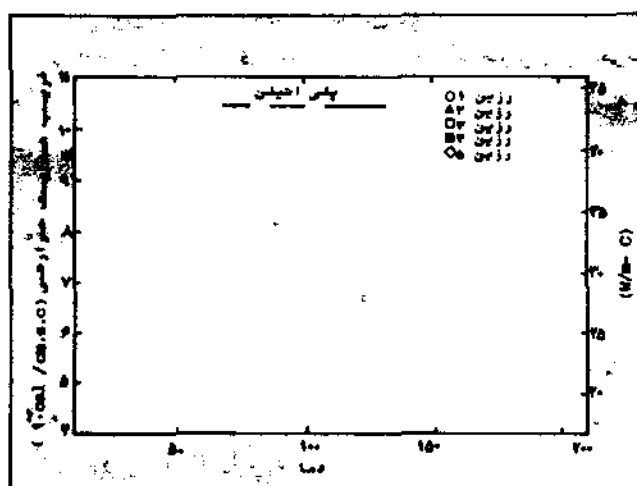
از سوی دیگر، در مورد بلی مرهای نیمه بلوری که تا حدودی نظم ساختاری دارند، دمای گذر مرتبه یکم، دمای ذوب باید شناخته شده باشد تا دمای فرآیندی - عملیاتی مناسبی براساس آن انتخاب شود.

نام روشهای ممکن برای بالا بردن دمای یک پلیمر جامد تا دمای بهینه فرآیندی، در موازنۀ انرژی حرارتی، معادله (۱۶)، آمده است. می‌توان دمای یک پلیمر جامد را از طریق هدایت حرارتی، فشرده سازی، تولید حرارت به دلیل مقاومت ویسکوز از طریق یک منبع حرارتی خارجی افزایش داد. در عمل، تنها از طریق هدایت حرارتی و مدفع حرارتی خارجی می‌توان برای افزایش دمای جامدات نارسیدن به نقطه ذوب استفاده کرد.

در حالیکه از اولتراسون (اسواع مساوی صوت) و یا گرمایش دی‌الکتریک (به عنوان منبع خارجی) نیز برای گرم کردن پلیمرهای جامد استفاده می‌شود، گرم کردن از طریق هدایت حرارتی برای ذوب جامدات پلیمری اولویت دارد. شرایط مرزی نوعی عبارتند از:

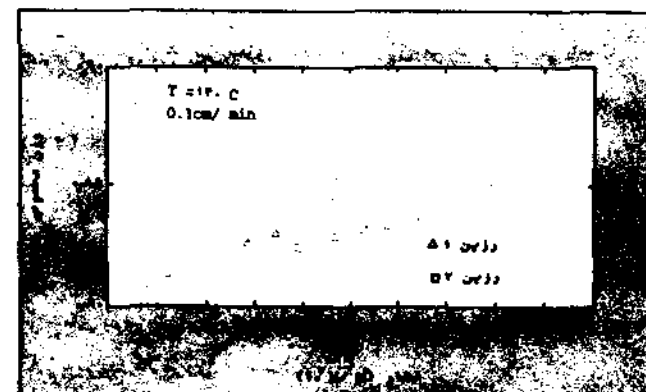
- شار حرارتی هدایتی<sup>۲۴</sup> در حالی اعمال می‌شود که پلیپرپرنس صورت ساندویچ بین دو صفحه داغ قرار دارد.
- شار حرارتی چابه‌چابی<sup>۲۵</sup> مانند گردش هوای داغ برروی سطح
- شار حرارتی صادر از یک منبع تابش مادون قرمز با مایکروویو برروی سطح
- استفاده از مقاومت ویسکوز پلیمر برای تولید حرارت در فصل منتر فیلم متعرک و مذاب پلیمر

گوچه می‌توان شارهای حرارتی قابل ملاحظه‌ای را بر سطوح اعمال نمود، ولی قابلیت گرم کردن توده پلیمری به علت مقادیر هدایت حرارتی تسبیتاً کم پلیمرها، محدود است. مقادیر نوعی ضربب هدایت حرارتی در مورد پلی‌اتیلنها در شکل ۲۲ آمده است. به علاوه اغلب رزینهای پلیمری در دمایهای بالا، خیلی پایدار نیستند. ممکن است تجزیه حرارتی، اکسیداسیون یا واکنشهای ایجاد پیوند عرضی، که خواص محصول را به نحو نامطلوبی تغییر می‌دهند، رخ دهد. رفتاریک نوع پلی‌اتیلن حین اکسیداسیون در شکل ۲۳ نشان داده شده است. وقوع اکسیداسیون را می‌توان با افزایش ویسکوزیته در جریان برشی ساده ملاحظه کرد.



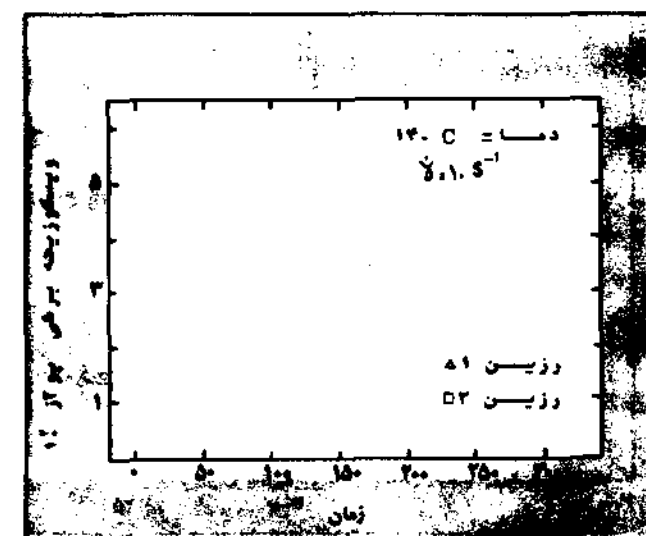
شکل ۲۲ - تغییرات ضربب هدایت حرارتی بر حسب دما در مورد انواع رزینهای پلی‌اتیلن

نشان داده شده است که دمای ذوب در فشار ۰ در رابطه اخیر نابع نمایی از فشار هیدرواستاتیک است.<sup>۲۷</sup> معرف حجم مخصوص فازی شکل و بلوری پلی‌مراند. اثر فشار بر دمای ذوب در شکل ۲۰ نشان داده شده است، که در آن نمونه‌ای از پلی‌اتیلن سنگین در ۱۵۰°C نگهداشته شده و وزن مذاب آن بر حسب فشار تعیین شده است [۲۶]. افزایش سریع وزن مخصوص بالای یک فشار بحرانی، نشانده‌نه تبلور یافتن نمونه است. دمای ۱۵۰°C بخوبی از دمای ذوب پلی‌اتیلن سنگین در فشار جو، ۱۳۴°C بالاتر است.

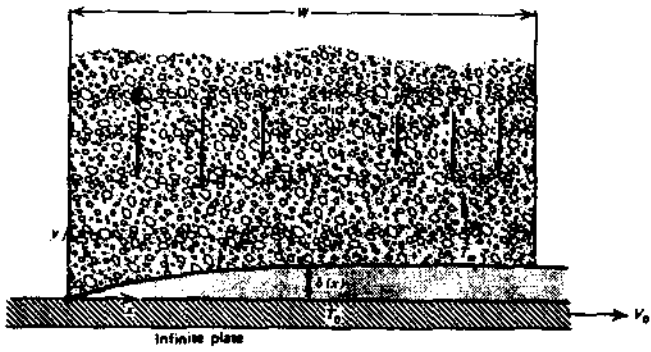


شکل ۲۰ - بلور نحت القاء فشار در آزمایش فشار - حجم - دما [۲۶]

به علاوه، تبدیل درجه یکم حالت بلور فاز مذاب پلیمرها تابع تاریخیجه تغیر شکل آنها است. این امر در شکل ۲۱ نشان داده شده است که در آن نمونه‌ای از پلی‌اتیلن سنگین را در دمای ۱۴۰°C نحت اندیجه‌یان بررسی یکنواختی قرار داده‌اند. جهت یابی ماکرومولکولها طی تغیر شکل، موجب تبلور آنها می‌شود که اثر بیرونی آن افزایش ویسکوزیته بر شی است.



شکل ۲۱ - بلور نحت القاء ننس در جریان برشی بکراخت در آزمایش «متغیر وصفه»



شکل ۲۲ - برداشت پلیمر مذاب از طریق جریان تحت القاء کشش

تحت فشار قراردادن و پمپ گردان تحت فشار قراردادن و پمپ گردان از اولین مرحله شکل دادن رزینهای پلیمری است. مثلاً در قالب گیری تزریقی، برای جریان یافتن ماده مذاب در شبکه و مجرای توزیع جریان، و برگردان حفره‌های قالب، باید آن را تحت فشارهای بالا، حدود هزاران پاوند برای منج مربع، قرارداد. در اکسپرسون، ماده مذاب باید تحت فشار قرار گیرد تا بتوان دبی جمی دلغوایی از ماده مذاب را از قالب عبور داد. خصوصیات تحت فشار قرار گرفتن و پمپ شدن پلیمرها تحت تأثیر رفتار رنولوژیک غیر نیوتونی آنهاست. رفتار پلیمرها عموماً به صورت زیر است:

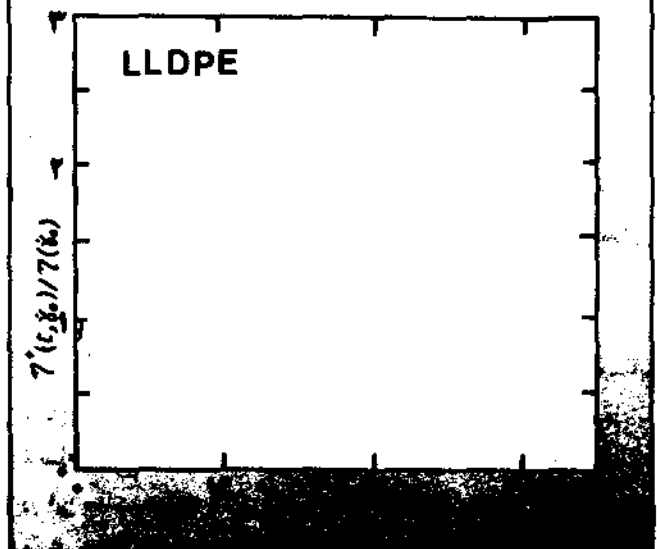
- تابع ویسکوزیته برپی هرماده و قدرتاً ایسته به میزان تغییر شکل، یعنی میزان برش در اعمال برش ساده است.

- پیداپیش تنشیهای نرمال هنین تغییر شکل که شاخص کتسانی آنهاست.

- نوعی حافظه تحلیل رونده<sup>۴۶</sup> را که باعث می‌شود رفتار سیال (پلیمر مذاب) متاثر از تازه ترین و قایع پانده علاوه، رفتار رنولوژیک مسکن است شدیداً متاثر از سرگذشت ترمومکانیکی و تغییرات ساختار مولکولی در این اکسیداسیون و ایجاد پیوندهای عرضی باشد.

### ویسکوزیته برشی و تنش

ویسکوزیته برشی و مقادیر تفاوت اولین تنش نرمال رزینهای پلی اتیلن در شکل‌های ۲۵ و ۲۶ نشان داده اند. مقادیر نسبتاً بالای ویسکوزیته، بین  $10^7$  تا  $10^8$  Pa.s<sup>۱</sup>، ماهیت شدیداً باریک شونده برش و مقادیر زیاد تفاوت اولین تنش نرمال که در دو شکل ۲۵ و ۲۶ نشان داده شده اند، از مشخصات اغلب مذابهای پلیمری هستند.



شکل ۲۳ - اکسیداسیون پلی اتیلن خلی تحت جریان برپی بکواخت

ضریب هدایت حرارتی کوچک و پایداری پلیمرها ایجاب می‌کند که لایه پلیمر مذاب با نرم شده به یکی از دوروش زیر به صورت پیوسته‌ای برداشته شود.

- برداشت مذاب از طریق جریان تحت القاء کشش

- برداشت مذاب از طریق جریان تحت القاء فشار

روش اول، شکل ۲۲، متدائلترین روش در فرآیند پلیمرهاست [۱]. در اینجا بستری از جامدات ذره‌ای به سمت جداره داغی فشرده می‌شود که در دمای  $T_c$  قرار دارد و با سرعت  $v$  حرکت می‌کند. لایه فیلم مذاب حاصل به دلیل حرکت صفحه کشیده می‌شود تا ذوب بیشتر را می‌سازد. فیلم مذاب ابتدا به واسطه هدایت حرارت از سطوح داغ و سبیس به دلیل حرارت ناشی از اصطکاک تولیدی بین ذرات جامد و فیلم مذاب، دمای ذوب  $T_d$  است. در سراسر فیلم مذاب، حرارت ناشی از مقاومت ویسکوزیت قابل ملاحظه است.

این روش ذوب، به صورت گستردۀ ای در فرآیند پلیمرها، از جمله در اکسترودرهای تک ماربیچ و ماربیچ دوقلو، ایجاد کننده حالت پلاستیکی و نیز در ماشینهای قالب گیری تزریقی رفت و برگشتی، مورد استفاده دارد. در اکسترودر تک ماربیچی، بستر جامد توسط دو تیغه مجاور ماربیچ، جداره اکسترودر، پایه ماربیچ، محدود می‌شود. سرعت نسبی موجود بین پلیمر و جداره اکسترودر، ماده مذاب پلیمر را به سمت تیغه جلو بر هدایت می‌کند. در اینجا حجم مذاب افزایش یافته و به گردش در می‌آید. بدینه است که هرچه به سمت جلو اکسترودر به پیش می‌رویم، در صد جامد در مجرای آن کاهش و در صد مذاب افزایش می‌باید.

عموماً می‌توان بین روش‌های زیر نسبت قائل شد:

- تحت فشار قرار دادن دینامیک از طریق سطح متخرک خارجی که بلی مر را به دنبال می‌کشاند.
- استفاده از جایه‌جاسازی مکانیکی نظریه‌بها برای تحت فشار قرار دادن.
- هر دو روش تحت فشار قرار دادن در فرآیند بلی مسراها مستداول هستند.

برای درک بهتر تحت فشار قرار دادن دینامیک، فرض می‌کیم مطابق شکل ۲۷، جریانی غیرفسردگی از مذاب بلی مر، بین دو صفحه افقی به فاصله  $H$  از پکدیگر، به صورت تک دما و کاملاً توسعه یافته‌تجاری باشد. در این حالت، صفحه بالایی با سرعت  $v$  حرکت می‌کند. اگر در پائین دست جریان مانع نباشد، میزان حجمی جریان به ازاء واحد عرض مجراء،  $q_r$ ، از رابطه زیر به دست می‌آید:

$$q_r = \frac{V_r H}{2} \quad (28)$$

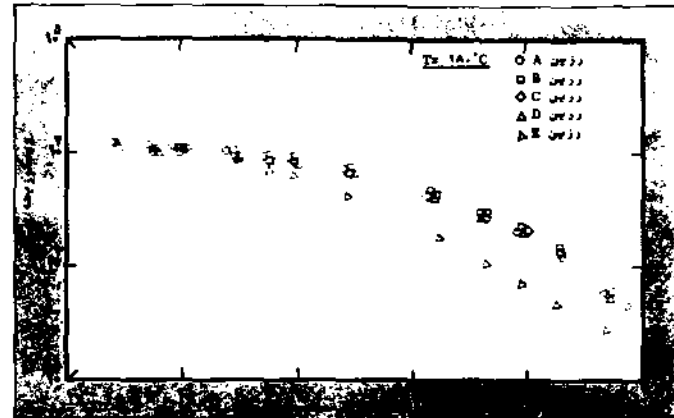
در چنین آرایشی، اگرچه به مقادیر حجمی جریان بالا می‌توان دست یافت، ولی مسلمآفشاری تولید نمی‌شود. با این وجود اگر مانع نظری یک شیر یا معبر مسدودشده‌ای در سر راه در پائین دست مجراء، مطابق شکل ۲۸، وجود داشته باشد، مؤلفه معادله حرکت در امتداد  $x$ ، به صورت زیر خواهد شد:

$$\frac{\partial p}{\partial z} = -\frac{\partial \tau_v}{\partial y} \quad (29)$$

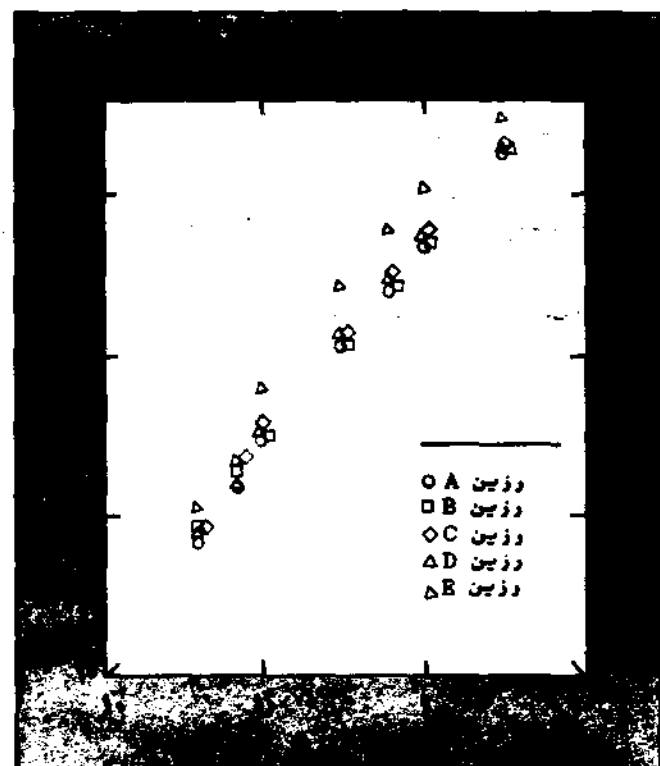
در این رابطه  $\tau_v$  عبارتست از تنش برخی. در این آرایش، مکانیزم کشش، موجب تولید گرادیان فشاری می‌شود که مقدار مطلق آن برابر مقدار مطلق افت فشار در دو سوی مانع است. این توانایی ایجاد فشار ناشی از توان ورودی در به حرکت درآوردن صفحه بالایی با سرعت  $v$  است.



شکل ۲۷ - جریان کششی خالص بین دو صفحه موازی



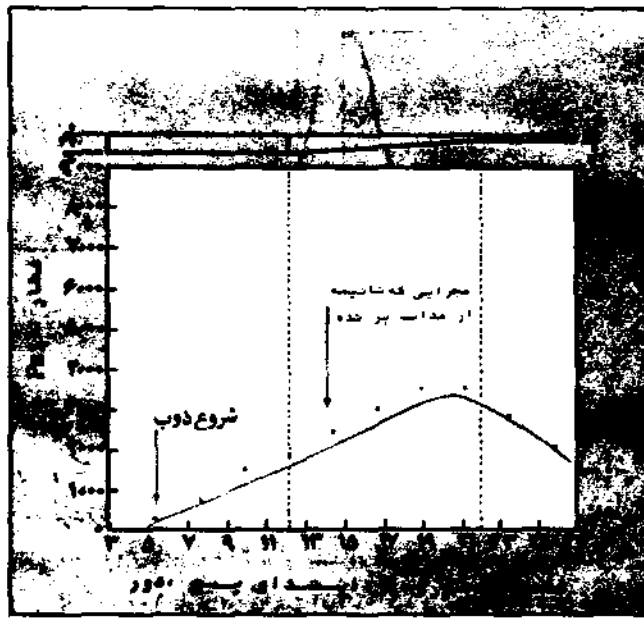
شکل ۲۵ - ویسکوزیته بررسی به صورت تابعی از میزان برس در رژیمهای بلی اتبل



شکل ۲۶ - تفاوت اولین تنش نرمال رژیمهای بلی اتبل

روشهای موجود برای بمب کردن و تحت فشار قرار دادن مذابهای بلی مری توسط معادله (۹) بیان شده‌اند و نشان می‌دهند که یک مذاب را می‌توان از طریق شتاب، شتاب نقل و اعمال تنشهای خارجی تحت فشار قرار داد [۱]. معمولاً استفاده از نیروی نقل و شتاب مؤثر نیست، اگرچه برخی فرآیندها نظریه‌بخنگری، قالب‌گیری دورانی، و قالب‌گیری ساختاری در فشار پائین استثناء هستند. از سوی دیگر، ویسکوزیته برخی عموماً زیاد و ماهیت کشسان مذابهای بلی مری باعث می‌شود نیروهای ویسکوز (معادله ۱۱) مهمنربین نیروها باشند. هرگاه مذاب توسط یک سطح متخرک کشیده یا به صورت مکانیکی جایه‌جاسازی شود، این نیروها باید مدنظر قرار گیرند.

بروفیل فشار نوعی در اکسترودر ایجاد کننده حالت پلاستیکی، در شکل ۲۱ نشان داده شده است [۲۸]. مقادیر مطلق افزایش فشار کلی تولید شده در اکسترودر ایجاد کننده حالت پلاستیکی، برابر افت فشار مذاب در قالب به ازاء همان میزان جریان حجمی است. خصوصیات پمپ کردن در اکسترودرهای دوقلو با تیغه‌های استاندارد، غیردرگیر، ناهمتوگرد و اکسترودرهای دوقلو هموگرد، درگیر، شیوه اکسترودرهای تک ماربیچی هستند. با این وجود، خصوصیات همزدگی از نظر گستردگی و شدت در این اکسترودرها کاملاً متفاوت هستند. از سوی دیگر، اکسترودرهای هموگرد صفحه‌ای<sup>۷</sup>، مذاب را با دو سطح متحرک و القاء کننده کنند، بمب می‌کنند، بنابراین مقادیر زیادتری را می‌توان پمپ کرد.



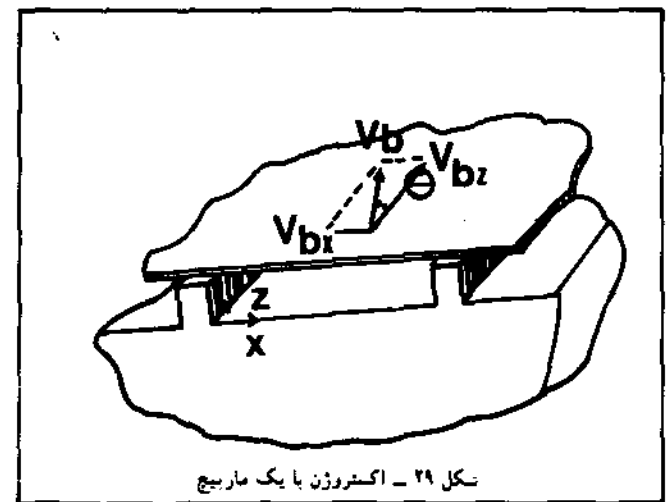
شکل ۲۱- تغییرات فشار بر حسب فاصله در اکستروژن ایجاد کننده حالت پلاستیکی برای رزین پلی اتیلن - سیک (LDPE)، در یک اکسترودر به نظر ۲۵ اینچ (۶۴۰ میلی متر) و نسبت طول به قطر (—) ۲۶ (—) ۲۸ (—).

برای پمپ کردن و تحت فشار قرار دادن مذاب پلیمری، ضرورت ندارد که دو سطح محدود کننده موازی باشند. این نوع جریان بین صفحات غیرموازی اساس کار در اکسترودرهایی است که دهانه‌های باریک‌شونده دارند. در این اکسترودرها عمق مسرا به صورت تابعی از فاصله از لبه شروع ماربیج تغییر می‌کند. دستگاه‌هایی مثل نورد، کلندر و دستگاه‌های روکش از این نوع هستند. در شکل ۲۲ توزیع فشار نوعی برای جریان یک مذاب پلیمری بین دو غلطک استوانه‌ای هم‌قطر و با سرعتهای زاویه‌ای مساوی نشان داده شده است [۲۹ و ۱۶]. با کشاندن مذاب توسط دو غلطک به سمت طرف خروجی که سطح مقطع در آنجا به حداقل کاهش می‌یابد، می‌توان فشارهای زیاد تولید کرد.

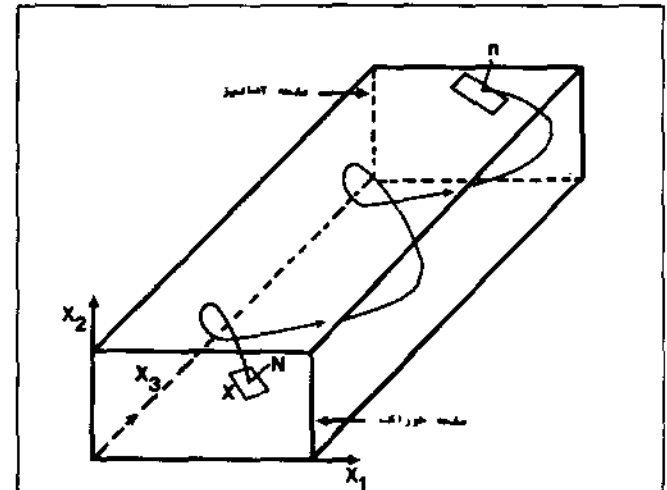
دومین مکانیزم موجود برای پمپ کردن و تحت فشار قرار دادن مایعات پلیمری، جا به جاسازی مکانیکی است. این مکانیزم در اکسترودرهای

شکل ۲۸- جریان کنسن و فشاری بین دو صفحه موازی

راههای مختلف ایجاد فشار تحت القاء کشش و پمپ کردن در فرآیند پلیمرها، در شکل‌های ۲۹ تا ۳۴ نشان داده شده‌اند. در شکل ۲۹ مجرای بدون پیچش برای اکستروژن دارای یک ماربیچ نشان داده شده که بدنه اکسترودر با زاویه ۶۵ نسبت به امتداد جریان مذاب به سمت پائین دست مogra، در حال حرکت است. مؤلفه  $V_b$  بدن، سیال را در امتداد عمود بر محور مجرای کشاند و منجر به حرکت گردشی سیال بین تیغه رانده و تیغه دنبال کننده<sup>۸</sup> می‌شود. از سوی دیگر، مؤلفه سرعت بدنه به سمت پائین دست مجرای  $V_b$ ، سیال را به سمت پائین دست مجرای (خروجی) می‌کشاند. در نتیجه، مذاب پمپ می‌شود و به سمت پائین دست مجرای به صورت «ماربیچ در ماربیچ»، مطابق شکل ۳۰، جریان می‌یابد [۲۷].



شکل ۲۹- اکستروژن با یک ماربیچ

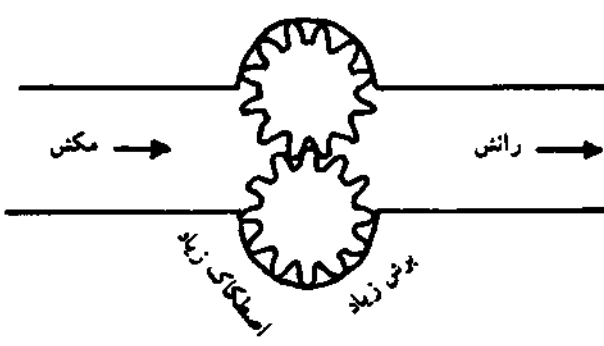


شکل ۳۰- جریان مذاب به سمت پائین دست مجرای در اکسترودر با یک ماربیچ

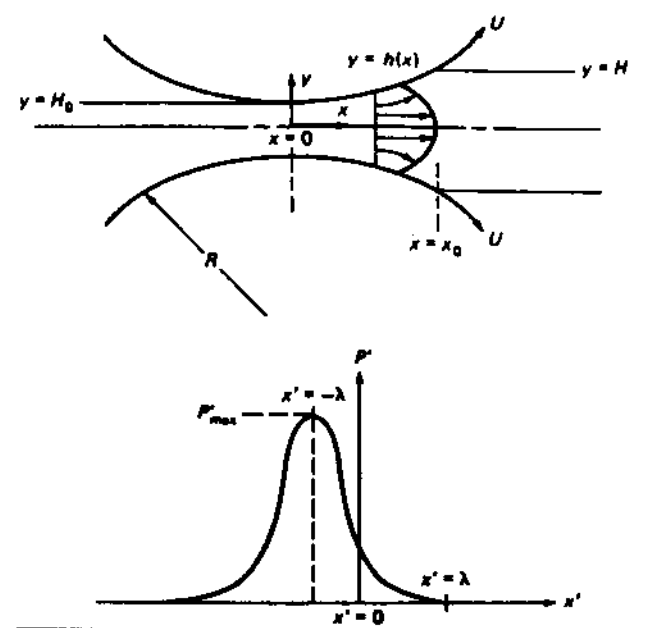
بلندر - بیستونی، بمب‌های دندایی و اکسیرودرهای دوقلو ناهمسو گرد و کاملاً درگیر مورد استفاده قرار می‌گیرد.

تحت فشار قرار دادن به طور مفصل در مراجع [۲۹] و [۲۸] و [۱۶] مورد بحث قرار گرفته‌اند.

در مقالهٔ بعد در شمارهٔ آینده در مورد همذکوری بلی مر مذاب، سایل لازم برای انجام این مقصود، حذف مواد فرآار و فرآیندهای دربرگیرنده واکنش توضیحاتی ارائه خواهد شد.



شکل ۳۳ - بسب دندایی

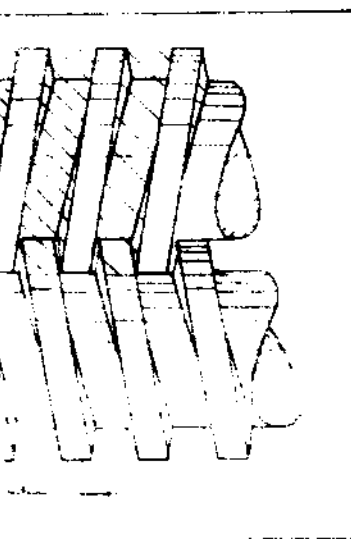


شکل ۳۴ - توزیع فشار بین دو غلطک دوار

بسب دندایی به صورت ایده‌آل، حجم دقیقی از مذاب را در هر دور بسب می‌کند و میزان حجمی جریان آنرا می‌توان با تغییر سرعت گردش تنظیم کرد (شکل ۳۳). از بسب‌های دندایی می‌توان در ویسکوزیتهای برشی ۲۰۰۰۰...۳۰۰۰۰ بواز استفاده کرد. علاوه بر این، جریان حجمی تا ۴۰۰۰۰ باوند بر اینچ مربع (۱۰۳ مگاباسکال) را می‌توان تولید کرد. از بسب‌های دندایی می‌توان به صورت سری با اکسیرودرهای ایجاد کننده حالت پلاستیکی نیز استفاده کرد، به نحوی که ارسالی به قالب را تحت فشار قرار داد تا میزان حجمی دلغواهی از جریان از آن عبور کند.

مکانیزم جابه‌جاسازی مکانیکی در اکسیرودرهای دوقلوی درگیر ناهمسو گرد نیز مورد استفاده دارد. در شکل ۳۴ تفاش شماتیک آن آمده است. توده مذاب، به سمت پائین دست مجراء به داخل قطعات جدا از هم و به شکل حرف لاتین C بسب می‌شود. تیغه‌های ماربیج به متزله بسب‌های جابه‌جاسازی عمل می‌کنند. میزان حجمی جریان مذاب، با چشم پوشش از نشت جریان، تابعی از آرایش هندسی و سرعت ماربیج است، به شرط آنکه مجراء از مذاب پر باشد.

مکانیزم تحت فشار قرار دادن و بسب کردن تحت القاء کشن اهمیت مقادیر زیاد ویسکوزیته برشی بلی مر های مذاب را نشان می‌دهد. از سوی دیگر، مقادیر زیاد ضربیب اولین تنش نرمال آنها، می‌تواند جهت طراحی دستگاههای تحت فشار قرار دادن، تغییر اکسیرودرهای تنش نرمال [۱۲۱]. مورد استفاده قرار گیرد. معادلات طراحی انواع فرآیندهای بسب کردن و



شکل ۳۵ - اکسیرودر دوقلو با تیغه استاندارد درگیر، ناهمسو گرد



- 4 - Particulate Solids
- 5 - Hoppers
- 6 - Apparent Fluid Density
- 7 - Polymeric Resins
- 8 - Degree of Interlocking
- 9 - Bulk Density
- 10 - Consolidation Test
- 11 - Elastic
- 12 - Volumetric Strain
- 13 - Translation Shear Box
- 14 - Mechanical displacement flow
- 15 - Drag - Induced Flow of Particulate Solids
- 16 - Janssen
- 17 - Compaction
- 18 - Plasticizing Simple Screw Extruder
- 19 - Intermeshing Co-Rotating and Non-Intermeshing Twin Screw Extruder
- 20 - Reciprocating Injection Molding Machine
- 21 - Pressurization
- 22 - Glass Transition Temperature
- 23 - Fox and Flory
- 24 - Williams - Landel - Ferry
- 25 - Clausius - Clapeyron
- 26 - Cone and Plate Viscometer
- 27 - Conductive Heat Flux
- 28 - Convective Heat Flux
- 29 - Pushing and Trailing Flights
- 30 - Corotating Disk Extruder

---

**References:**

- [20] Smith, D., and R. Lohner, "Particle characterization in Technology," Vol. 1, CRC Press, Boca Raton, FL (1986).
- [21] Jackson, R., *J. Rheol.*, 30, p. 907 (1986)
- [22] Bowels, J., "Engineering Properties of Solids and Their Measurements," McGraw Hill, New York (1978)
- [23] Janssen, H., *Z. Vereinsch. Dtsch. Ing.*, 39, P. 1045 (1895)
- [24] Janssen, H., *Proc. Inst. Civ. Eng. London*, P. 553 (1896)
- [25] Tadmor, Z., and E. Broyer, *Poly. Eng. Sci.*, 12, P. 379 (1972)
- [26] Kamal, M., D. Kalyon, and J. Delay, *Poly. Eng. Sci.*, 20 (17), P. 1117 (1980)
- [27] Chella, R., and J. Ottino, *Ind. Eng. Chem. Fund.*, 24, P. 170 (1985)
- [28] Tadmor, Z., and I. Klein "Engineering Principles of Plastication Extrusion," R. Krieger, New York (1978)
- [29] Middleman, S., "Fundamentals of polymer processing," McGraw Hill, New York (1977)